

SF₆ 混合가스의 絶緣特性

李 東 仁
(嶺南大 工大 教授)

■ 차 례 ■

- 1. 序 言
- 2. 혼합가스의 絶緣破壞
 - 2.1 SF₆/N₂ 혼합가스
 - 2.2 SF₆/Air 및 SF₆/CO₂ 혼합가스
 - 2.3 SF₆/N₂O 혼합가스
 - 2.4 SF₆/He 및 SF₆/H₂ 혼합가스
- 3. 혼합가스의 絶緣破壞電壓 예측
- 4. 最近의 研究活動 및 方向
參考文獻

1 序 言

最近 SF₆ 가스와 다른 가스와의 混合氣體의 絶緣特性에 대한 관심이 점차 많아져 많은 論文들이 발표되고 있다. 이것은 SF₆ 가스 단독으로 사용할 때의 결점을 SF₆ 가스와 다른 값싼 불활성가스를 섞어 사용하므로써 다음과 같은 몇가지 利點이 알려지고 있다. 첫째는 SF₆ 가스뿐만 아니라 負性가스(Electro-negative gases)를 공기나 질소와 같은 가스에 조금 混合해서 사용하므로써 放電開始電壓이 현저히 높아졌고, 둘째는 일반적으로 絶緣耐力이 높은 氣體는 分子量이 많고 液化溫度가 높은 것이 많다. 따라서 SF₆에 液化溫度가 낮은 가스를 混合시키므로써 絶緣耐力은 거의 低下시키지 않고 使用溫度를 낮출 수 있었다. 이것은 北구라과의 여러 나라에서는 현실적인 문제로 SF₆와 N₂ 혼합가스를 한냉한 곳에 사용할 수 있다. 마지막으로 混合을 시켜도 그 絶緣耐力이 단독가스시의 값과 큰 차이가 없기 때문에 질소와 같은 값싼 가스를 混合하면 經濟的일 것이다.

本 欄에서는 우선 平等電界에서 SF₆ 가스와 비부착 기체인 N₂, He 및 H₂와 다른 弱負性氣體인 空氣, CO₂ 또는 N₂O와의 混合가스에 대한 발표된 絶緣特性을 정리분석하여 將次的 研究方向을 모색코저 한다. 또한 이러한 混合가스에 대한 絶緣破壞電

壓의 예측과 最近 國外에서의 이에 관한 研究動向에 대하여 言及코저 한다.

2 混合가스의 絶緣破壞

平等電界에서의 絶緣과괴에 관한 data는 이론적인 면에서 뿐만아니라 실제적인 견지에서도 상당히 중요하다. 또한 이로부터 구성가스와 混合가스의 상대적인 絶緣특성에 관한 지식을 얻을 수 있으며 가스絶緣계통의 경비를 절감시키는데 도움을 준다. 따라서 이 欄에서는 여러가지 SF₆ 가스와의 混合기체에 대한 絶緣과괴특성을 고찰해 보고코저 한다.

2.1 SF₆/N₂ 혼합가스

SF₆ 가스와 混合시키는 중요한 기체는 질소이다. 이 질소는 화학적으로 안정하고, 불활성기체이며 또한 쉽게 얼마든지 얻을 수 있다. 평등전계에서 질소가스에 수%의(용적) SF₆ 가스를 첨가하므로써 질소가스의 絶緣내력을 상당히 향상시킬 수 있었다.^{1)~4)} 예를 들면 용적으로 5%의 SF₆ 가스를 질소에 혼합시켜 주므로써 순수 SF₆ 가스의 絶緣내력의 60% 정도까지 絶緣내력을 얻을 수 있었다.²⁾ 그러나 그 以上の SF₆ 추가 첨가는 이와 같은 급진적인 絶緣내력의 향상은 없었다.²⁾ 즉 絶緣과괴전압의 상승이 거의 포화상태가 된다. 이러한 현상의 原因은

아직 명확하게 밝혀지지는 않았으나 아마 SF₆가스가 0~0.4eV의 낮은 energy 영역에서는 높은 부착 단면적을 갖기 때문이라고 생각하고 있다. 이러한 포화현상이 일어나기 위해서는 질소가스가 대단히 순수하지 않으면 안된다. 즉 산소라든지 수분이 수백만분의 일이 포함되더라도 순수질소가스의 절연 특성이 상당히 달라진다. 그림 1은 질소, SF₆ 및 SF₆/N₂ 혼합가스에 대한 P·d(P는 가스압력, d는 전극간의 거리)의 범위가 40~500kPa·cm에서의 Paschen의 곡선을 나타낸다. Ermel²⁾은 질소와 SF₆/N₂ 혼합기체에 대한 Paschen의 최소치를 측정하였는데 그 값은 SF₆의 첨가량을 변화시키므로써 각각 다른 P·d의 값에서 얻을 수 있었다. 平等電界에서 SF₆/N₂ 혼합가스의 절연과괴전압은 인가전압 약 200kV 정도까지는 문헌에서 얻을 수 있다. 앞에서 언급한 절연내력의 포화경향은 교류와 임펄스전압을 인가시에도 발생한다.

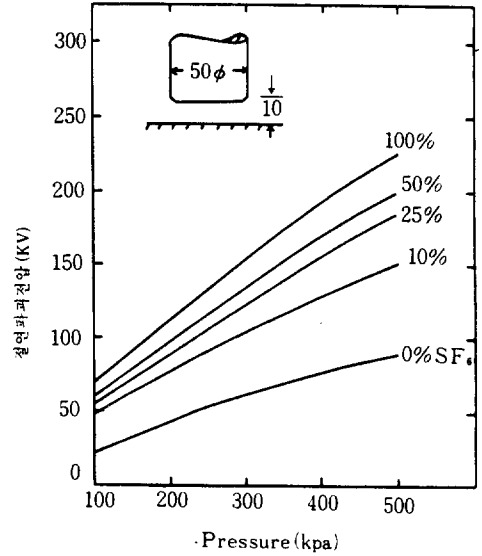


그림 2. 평등전계에서 SF₆/Air혼합가스의 절연과괴전압 (5)

적인 측면에서 볼때 좋은 혼합가스가 되지 못한다. 平等電界에서 SF₆/CO₂ 혼합가스에 대한 절연과괴전압측정은 Pd=100kPa·mm의 값에서만 Christophoron가 보고하고 있다.* 여기에서는 SF₆/N₂ 혼합가스에서 볼 수 있었던 현저한 포화현상은 관찰할 수 없었다. 이 혼합가스에 대한 연구결과와는 거의 없기 때문에 제한된 연구결과에 의하면 SF₆/CO₂ 혼합가스의 절연과괴전압은 SF₆가스의 分壓에 거의 비례한다고 알려지고 있다.

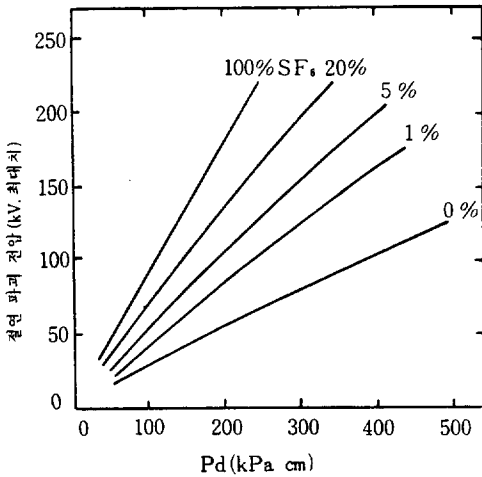


그림 1. SF₆/N₂ 혼합가스의 팻선곡선 (20℃, 50Hz) (1)

2·2 SF₆/Air 및 SF₆/CO₂의 혼합가스

평등전계나 유사평등전계에서 SF₆/Air 혼합기체에 대한 연구 과가 적기때문에 체계적이고 집중적인 연구의 필요성을 느낀다. 지금까지의 발표결과에 의하면 SF₆/N₂ 혼합기체보다 비교적 포화되는 정도가 적다. 이것은 아마 공기중에 있는 負性氣體인 산소때문이라고 생각된다. 그러나 그림 2에서 볼 수 있는 바와 같이 10%의 SF₆가스를 혼합시키므로써 절연과괴전압을 상당히 높일 수 있었다.⁵⁾ SF₆/Air 혼합가스는 공기중에 있는 화학적으로 활발한 산소때문에 SF₆/N₂ 혼합가스보다는 기술

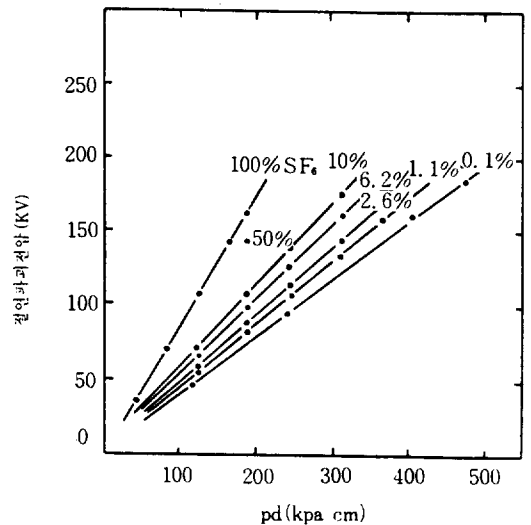


그림 3. 직류전압인가시 SF₆/N₂O혼합가스의 팻선곡선 (7)

2-3 SF₆/N₂O 혼합가스

이 기체는 비교적 가격이 싸기 때문에 SF₆ 가스의 중요한 첨가기체이다. 평등전계, 40<Pd<400 kPa cm의 범위에서 1% 및 50%의 SF₆ 가스를 혼합시킨 SF₆/N₂O 혼합가스의 절연파괴전압이 보고되었으며, 또한 SF₆ 가스의 비율을 0~10%로 증가시키므로써 Paschen 법칙으로부터의 편차를 줄일 수 있었다.⁷⁾ 그림 3은 SF₆/N₂O 혼합가스에 대한 Paschen 곡선인데 여기서부터 알 수 있는 바와 같이 50%의 SF₆를 혼합시키므로써 순수 SF₆ 가스의 절연내력의 약 90% 정도까지 얻을 수 있었다.⁷⁾

만약 37%의 SF₆를 혼합하고 있는 SF₆/N₂O 혼합가스의 압력을 순수 SF₆ 가스의 압력보다 약 20% 정도 증가시키면 이 혼합가스의 절연내력은 순수 SF₆ 가스의 절연내력과 거의 같아지고 그 가격은 순수 SF₆ 가스의 절반정도가 된다.⁷⁾

2-4 SF₆/He 및 SF₆/H₂ 혼합가스

SF₆/He 혼합가스에 대한 연구결과는 거의 전무한 상태이다. 전기기계등의 냉각매체로 사용되어지는 수소는 공기와의 혼합시 발생하는 위험때문에 필자는 수소와 거의 대등한 냉각효과를 나타내는 Helium을 SF₆ 가스와 혼합시켜 그의 절연특성을 연구 보고하였다.⁸⁾ 여기서 평등전계 압력 100kPa에서 300kPa사이의 이 혼합가스의 SF₆ 혼합비율에 따른 절연파괴강도를 예측할 수 있는 실험식을 구하였다.

SF₆/H₂ 혼합가스에 대한 평등전계에서의 절연파괴전압의 연구결과도 거의 전무하다. 다만 20%까지의 SF₆를 혼합하고 있는 SF₆/H₂ 혼합가스에 대한 전리계수와 부착계수측정에 관한 것은 발견할 수 있다.⁹⁾ 여기서 수소에 SF₆ 가스를 첨가시키므로써 수소의 전자에너지 분포함수에 큰 변화를 일으켜 α(총돌전리계수)와 η(부착계수)의 값에 영향을 미친다고 생각하고 있다. 좌우간 우리들은 이 SF₆/H₂ 혼합가스의 방전특성을 조사 연구하기 전에 화학적인 반응에 대하여 깊은 주의를 하여야 한다.

③ 혼합가스의 絶縁破壊電壓 예측

두 종류 또는 그 이상의 혼합가스에 대한 절연특성을 결정하기 위해서는 많은 측정을 하여야 하며 또한 이러한 절연특성을 이론적으로 예측할 수 있는 방법을 도출해 내는 것이 바람직하다. SF₆ 가스와의 혼합기체에 대한 방전특성을 결정하는데 사용되는 일반적인 모델은 아직 없으나 기본방법

들을 분류하면 두 종류로 나눌 수 있다. 그 하나는 측정치에 의한 실험적 방법이고³⁾ 다른 하나는 Streamer 방전조건에 의한 반실험적 방법이다.^{11,10)} 혼합가스의 절연파괴전압을 각 구성가스의 파괴전압과 그의 分壓의 함수로써 표시하는 실험식은 다음과 같다.³⁾

$$V_m = V_2 + \frac{X}{X+C(1-X)} (V_1 - V_2)$$

여기서 V_m은 혼합가스의 절연파괴전압 V₁ 및 V₂는 각 구성가스의 절연파괴전압(V₁>V₂), X는 가스 1의 分壓比(容量比) 그리고 C는 가스의 혼합에 의존하는 定數로써 압력과 전극간 거리와는 관계가 없다. Takuma 등은 SF₆/N₂ 혼합가스에서 C=0.08을 사용하므로써 실험치와 계산치는 잘 일치한다고 하였다.³⁾ 그러나 이와 같은 방법은 실제 高電壓설계자에게는 별로 이용되지 못하고 있다. 왜냐하면 V₁과 V₂의 값은 실제의 경우 다르며, 또한 정확하게 혼합가스의 방전전압을 예측하기 위해서는 이 값을 실험적으로 측정하여야 하기 때문이다.

半實驗的 방법은 Streamer 방전조건에 근거를 둔 것으로써 絶縁破壊나 Corona 放電은

$$\int_0^{x_c} (\alpha_m - \eta_m) dx = k \tag{1}$$

의 조건을 만족시킬때 일어난다. 여기서 α_m과 η_m은 혼합가스의 전리계수와 부착계수이며 x_c는 극한 애벌렌체 길이이다. 平等電界나 유사평등전계에서는 x_c의 값은 전극간거리와 같으나 不平等電界에서는 전극간거리에 비하여 아주 미소한 길이이며 高電界의 전극으로부터 α_m=η_m 되는 점까지의 길이이다. 실험적으로 구성가스 각각에 대한 α와 η의 측정치는 보고되고 있으나 혼합가스에 대한 α_m η_m의 측정치는 아직 보고된바 없다. 그러나 몇몇 연구자는^{21,10,11)} 혼합가스에 대한 전리계수와 부착계수를 계산하였다. 이것에 의하면 두 종류의 가스에 의한 혼합가스의 전리계수 α_m는 다음과 같이 나타낼 수 있다.

$$\frac{\alpha_m}{P} = \left(\frac{\alpha'_1}{P_1} + \phi \cdot \frac{\alpha'_2}{P_2} \right) \cdot \frac{1}{(1+\phi)} \tag{2}$$

여기서 φ = P₂/P₁는 두 구성가스의 분압비이며

$\frac{\alpha'_1}{P_1} = f_1 \left(\frac{E}{P} \right)$, $\frac{\alpha'_2}{P_2} = f_2 \left(\frac{E}{P} \right)$ 로써 혼합시 각각의 가스에 대한 전리계수이다. 만약 혼합시 두 가스의 상호작용이 있으면 상기 $\frac{\alpha_m}{P}$ 에 대한 식은 사용할 수 없으며 반드시 측정에 의해서만 구할 수 있다. 負性氣體에도 똑 같은 방법으로 만약 분자의 상호작용이 없다면 혼합기체에 대한 實効電離係數 $\bar{\alpha}_m = \alpha_m$

η_m 는 다음과 같이 나타낼 수 있다.

$$\frac{\bar{\alpha}_m}{P} = \left[\left(\frac{\bar{\alpha}}{P} \right)_1 + \phi \cdot \left(\frac{\bar{\alpha}}{P} \right)_2 \right] / (1 + \phi) \quad (3)$$

여기서 $\left(\frac{\bar{\alpha}}{P} \right)_1$ 과 $\left(\frac{\bar{\alpha}}{P} \right)_2$ 는 각각 구성가스에 대한 값이다.

Streamer 파괴조건과 위의 (2) 또는 (3) 식을 사용하여 평등전계에서 SF₆/N₂ 혼합가스에 대한 절연과 파괴전압을 계산하여 본 결과 약 1 기압 미만의 경우에는 측정치와 거의 일치하였으나^{2), 10), 11)} 고기압의 경우(약 1 기압에서 4 기압까지)는 필자의 연구결과에 의하면 계산치와 측정치가 일치하지 않았다.* 또한 He/SF₆ 혼합가스의 경우에도 최근 필자의 측정결과(평등전계)에 의하면* 계산치와 일치하지 않음을 알게 되었다. 따라서 식(1)을 유도할때 가정의 진위를 판단하기 위해서는 실제 여러가지 혼합가스의 전리계수와 부착계수를 측정하지 않으면 안 된다.

4] 최근의 研究活動 및 方向

최근 혼합가스에 대한 研究는 미국 Oak Ridge 국립연구소에서 많이 연구되어지고 있는데 그 연구결과에 의하면¹²⁾ 수종의 perfluoro carbon과 SF₆ 가스의 혼합기체, perfluoro↔carbon과 N₂ 또는 CHF₃의 혼합가스에 대한 절연특성 연구가 행해져 SF₆/N₂ 혼합가스와 함께 공업적인 측면에서 상당히 유망한 혼합가스임이 밝혀졌다. 50%SF₆/50%N₂ 혼합가스의 압력을 순수 SF₆ 가스의 압력보다 약 15% 정도 더 높여서 사용하므로써 순수 SF₆ 가스의 절연내력과 동일한 효과를 얻을 수 있었으며 가격은 약 35% 정도 절감시킬 수 있었다.¹³⁾ 이 SF₆/N₂ 혼합가스는 절연내력 측면외에도 여러가지 장점이 있기 때문에(예를 들면 露点, 불평등전계특성 및 입자 영향등) 순수 SF₆ 가스를 代替할 수 있는 가장 좋은 혼합가스라고 할 수 있다. 따라서 이러한 이유에서 0.1~1MPa 압력 범위에서 이 혼합가스에 대한 체계적인 연구가 이루어져야 된다고 생각된다. 그 외에 실용 가능성이 있다고 판단되는 혼합기체로서는 SF₆/Air 또는 SF₆/CO₂ 등도 계속 검토되어야 할 것이다.

또한 최근에는 系統이 요구하는 여러가지의 특성을 최대한 충족시키면서 최저의 비용을 들이기 위하여 3종의 가스를 혼합시킨 혼합가스의 絶縁特性 研究도 進行되고 있다. 예를 들면 N₂와 SF₆의 혼합가스에 추가하여 소량의 負性가스인

perfluoro carbons을 混入시킨다. 그중 특히 관심의 대상은 N₂/SF₆/C~C₄F₈ 혼합가스이다.

앞으로 이러한 혼합가스에 대해서 實驗室에서 밝혀진 여러가지 利點을 실제공업면에 적용시에도 동일한 利點이 있음을 증명하여야 하고 제시된 혼합가스의 유용성을 확인하기 위하여 산업적인 규모의 시험이 행해져야 한다. 또한 高電界下에서 혼합가스의 熱的, 化學的 및 주위환경에 대한 安定性과 미소粒子的 조절方法 등이 研究되어져야 한다.

參 考 文 獻

- 1) M. Ermel, "Das N₂-SF₆ gasgemisch als isoliermittel der hochspannungstechnik", ETZ-A, Bd -96, H-5, pp. 231~235, 1975.
- 2) M. O. Pace, L. G. Christophorou, D. R. James, P. Y. Pai, R. A. Mathis, and D. W. Bouldin, "Improved unitary and multi-component Gaseous insulators", IEEE Trans.on Elect. Insul, vol. EI-13, No. 1, pp.31~36, 1978.
- 3) T. Takuma, T. Watanabe and K. Kita, "Breakdown characteristics of compressed-gas mixtures in nearby uniform fields", Proc. IEE, vol. 119, No. 7, pp. 927~928, 1972.
- 4) Dong-in Lee and Dal-Hae Lee, "A study on the electrical breakdown in pressurized SF₆/N₂ mixtures", KIEE. vol. 28, No.4, pp.39~46, 1979.
- 5) D. Kind, "Gas insulated energy transmisson systems", Trans. of SA Institute of Elect. Engineers, vol. 65, Part. 12, 1974.
- 6) L. G. Christophoron, D. R. James, R. Y. Pai, M. O. Pace, R. A. Mathis and D. W. Bouldin, "High voltage research(breakdown strengths of gaseous and liquid insulators)", Oak Ridge National Laboratory, Report ORNL/TM-5917, p. 20, 1977.
- 7) J. Dutton, F.M. Marris and D. B. Hughes, "Electrical breakdown of N₂O, SF₆ and N₂O/SF₆ mixtures", Proc. IEE, vol. 121, No. 3, pp. 223~226, 1974.
- 8) Dong-in Lee, "Breakdown in compressed He/SF₆ gas mixtures in uniform Field", IEEE Trans. on Elect. Insul.에 발표예정, 1985.
- 9) J. L. Moruzzi and J. D. Craggs, "Ionization and

- attachment and breakdown measurements in mixtures of SF₆ with helium, argon and hydrogen", Proc. 12th Interna. Conf. on Phenomena in Ionized Gases, Eindhoven, The Netherland, p. 225, 1975.
- 10) R. G. Baumgartner, "Dielectric characteristics of mixtures of sulphur-hexafluoride and Nitrogen", Proc. 3rd Intern. Conf. on Gas Discharges, IEE Conf. Publ. No. 118, p. 336, 1974.
- 11) V. A. Wieland, "Gas durch schlags mechanism in electro-negativen gasen und in gasgemischen", ETZ-A, Bd. 94, H-7, p. 370, 1973.
- 12) L. G. Christophorou, D. R. James, I. Sauers, M. O. Pace, R. Y. Pai and A. Fatheddin, "Gaseous Dielectrics III", Pergamon Press, New York, p. 151, 1982.
- 13) D. R. James, M. O. Pace, D. W. Bouldin, and L. G. Christophorou, "A current assessment of research on insulating gas mixtures and their potential for industrial applications", ORNL Report. TM-9017, 1984.